

LøsningsskisseOppgave 1

a) Den enkle klassiske Hall-effektet er at et magnetfelt som påvirker en strømleder gir opphav til et potensial tilsvarende et felt normalt på magnetfelt og på strømrouting.

I stasjonær tilstand er Lorentzkrafta i y-retning lik null, dvs:

$$F_y = -e E_y + e v_x B_z = 0 \quad \therefore E_y = v_x B_z$$

Her er partikkelfastigheten og strømtetheten proporsjonale:

$$j_x = -e n_- v_x$$

Hallkoeffisienten blir

$$R = \frac{E_y}{j_x B_z} = \frac{v_x B_z}{-e \cdot n_- v_x B_z} = -\frac{1}{e n_-}$$

b) Her er  $j_x = \frac{10^{-2}}{5 \cdot 10^{-3} \cdot 10^{-3}} = 2000 \text{ A m}^{-2}$

$$|E_y| = \frac{0.004}{0.005} = 0.8 \text{ V m}^{-1}$$

$$e = 1.6 \cdot 10^{-19} \text{ C}$$

slik at

$$n_- = \frac{j_x \cdot B_z}{e |E_y|} = \frac{2000 \cdot 0.6}{1.6 \cdot 10^{-19} \cdot 0.8} \text{ m}^{-3} = \frac{15}{16} 10^{22} \text{ m}^{-3}$$

$$= \underline{\underline{9 \cdot 10^{22} \text{ m}^{-3}}}$$

c) Når mobilitetene  $\mu_{\pm}$  regnes positive får

$$j_x = (n_+ e \mu_+ + n_- e \mu_-) E_x$$

$$j_y = n_+ e \mu_+ [E_y - (\mu_+ E_x) B_z] + n_- e \mu_- [E_y + (\mu_- E_x) B_z]$$

$$j_y = 0 \quad \text{gir} \quad E_y = E_x B_z \quad (\mu_+ n_+ - \mu_-^2 n_-) / (n_+ \mu_+ + n_- \mu_-)$$

$$\text{og } R = \frac{E_y}{B_z j_x} = \frac{\mu_+^2 n_+ - \mu_-^2 n_-}{e (\mu_+ n_+ + \mu_- n_-)^2}$$

## Oppgave 2

- a) Eksperimentelt:
- (i) El. ledningsøvnens størrelse er mye mindre enn metallers og mye større enn isolatorers
  - (ii) El. ledningsøvne øker med økende temperatur

Intrinsikk: Strom skyldes, i hovedsak, termisk elektriske ledningsbøsse.

Ekstrinsikk: Ladningsbøsene skyldes i hovedsak doping.

- b) Da besettedestallene i ledningsbandet er relativt beskjedne settes

$$n(\epsilon) = \frac{1}{1 + e^{(\epsilon - \mu)/k_B T}} \approx e^{(\mu - \epsilon)/k_B T}$$

Elektronantallet i ledningsbandet er da

$$N_e = \int_{\epsilon_0(0)}^{\infty} d\epsilon n(\epsilon) g(\epsilon) = \int_{\epsilon_0(0)}^{\infty} d\epsilon e^{\frac{\mu - \epsilon}{k_B T}} \frac{V}{2\pi^2} \left(\frac{2m_e}{\hbar^2}\right)^{3/2} [\epsilon - \epsilon_0(0)]^{1/2}.$$

Med ny variabel  $\epsilon = \epsilon_0(0) + k_B T \cdot x$  blir dette

$$e^{\frac{\mu - \epsilon_0(0)}{k_B T}} \frac{V}{2\pi^2} \left(\frac{2m_e k_B T}{\hbar^2}\right)^{3/2} \underbrace{\int_x^{\infty} dx e^{-x} x^{1/2}}_{\sqrt{\pi}/2}$$

Dvs

$$n_e = \frac{N_e}{V} = 2 \left(\frac{m_e k_B T}{2\pi^2 \hbar^2}\right)^{3/2} e^{\frac{\mu - \epsilon_0(0)}{k_B T}}$$

- c) Ladningsbevarelse for en intrinsisk halvleder tilsier at

$$p = m_e$$

$$\text{Det gir } e^{[2\mu - \epsilon_e(0) - \epsilon_v(0)]/k_B T} = \left(\frac{m_v}{m_e}\right)^{3/2}$$

$$\mu = \frac{\epsilon_e(0) + \epsilon_v(0)}{2} + \frac{3}{4} k_B T \ln \frac{m_v}{m_e}$$

(3)

Siste ledet er vanligvis lite ( $k_B T_{\text{room}} \approx \frac{1}{40} \text{ eV}$ ) så dette er nærmest midten av energigapet.

### Elektronkontinuiteten

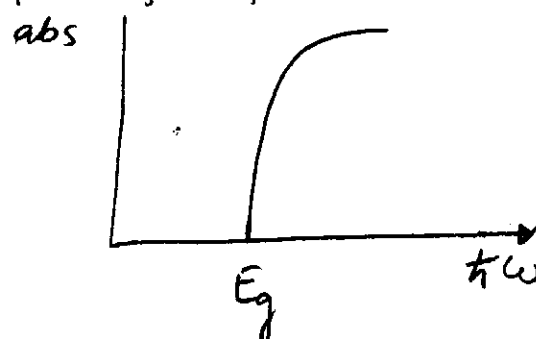
$$m_e = \sqrt{m_e p} = 2(m_e m_v)^{\frac{3}{4}} \left( \frac{k_B T}{2\pi\hbar^2} \right)^{3/2} e^{-\frac{E_l(0) - E_v(0)}{k_B T}}$$

- d) Bandgapet kan bestemmes eksperimentelt ved
- (i) å måle ledningsevnens temperaturavhengighet, siden ledningsevnen er  $\propto$  antall ledningsbaser, etter det ovenstående

$$\sigma \propto T^{3/2} e^{-E_g/2k_B T}, \quad E_g = E_l(0) - E_v(0)$$

Da  $T^{3/2}$ -faktoren varieres langsomt, vil hellingen i et lin  $\sigma$  mot  $T^{-1}$ -plot være tilnærmet  $-E_g/2k_B$ .

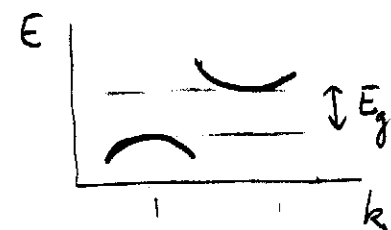
- (ii) å måle absorasjon av fotoner, som funksjon av frekvens:



For et direkte gap



For et indirekte gap må et foton hjelpe til med konservasjon av bevarelse da  $k_f$  ikke  $\propto 0$ .



### Oppgave 3

For overkritiske temperaturer er M-liten når B er liten, og tanke  $[ ] \approx [ ]$ , dvs

$$M \approx \frac{mg^2 \mu_B}{k_B T} B / \left( 1 - \frac{mg^2 \mu_B^2 \lambda}{k_B T} \right)$$

Det gir susceptibiliteten

$$\chi = \frac{\mu_0 M}{B} = \frac{\mu_0 m g^2 \mu_0}{k_B} \frac{1}{T - \frac{1}{k_B} \sum_F J(F)}$$

Deretter settes inn for  $\lambda$ .

Vi ser at  $\chi$  diverges for  $T \rightarrow T_c$ ,  
der

$$T_c = \frac{1}{k_B} \sum_F J(F)$$

#### Oppgave 4

Bevegelseslikning for utslaget  $u_m$  av atom nr. m:

$$m \frac{d^2 u_m}{dt^2} = \alpha_1 (u_{m-1} + u_{m+1} - 2u_m) + \alpha_2 (u_{m-2} + u_{m+2} - 2u_m)$$

En harmonisk bølge

$$u_m \sim e^{ikma - i\omega t}$$

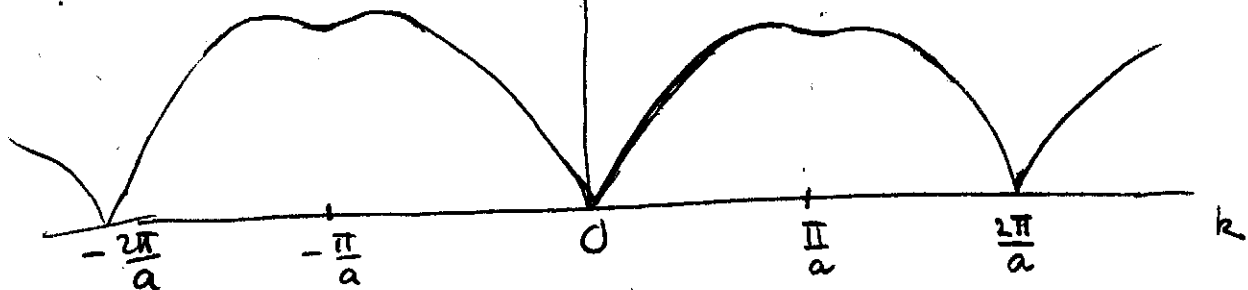
gir

$$\begin{aligned} -m\omega^2 &= \alpha_1 (e^{-ika} + e^{ika} - 2) + \alpha_2 (e^{-2ika} + e^{2ika} - 2) \\ &= \alpha_1 (e^{ika/2} - e^{-ika/2})^2 + \alpha_2 (e^{ika} - e^{-ika})^2 \\ &= \alpha_1 (2i \sin \frac{ka}{2})^2 + \alpha_2 (2i \sin ka)^2 \end{aligned}$$

$$\omega = \sqrt{\frac{2}{m} \left( \alpha_1 \sin^2 \frac{ka}{2} + \alpha_2 \sin^2 ka \right)}$$

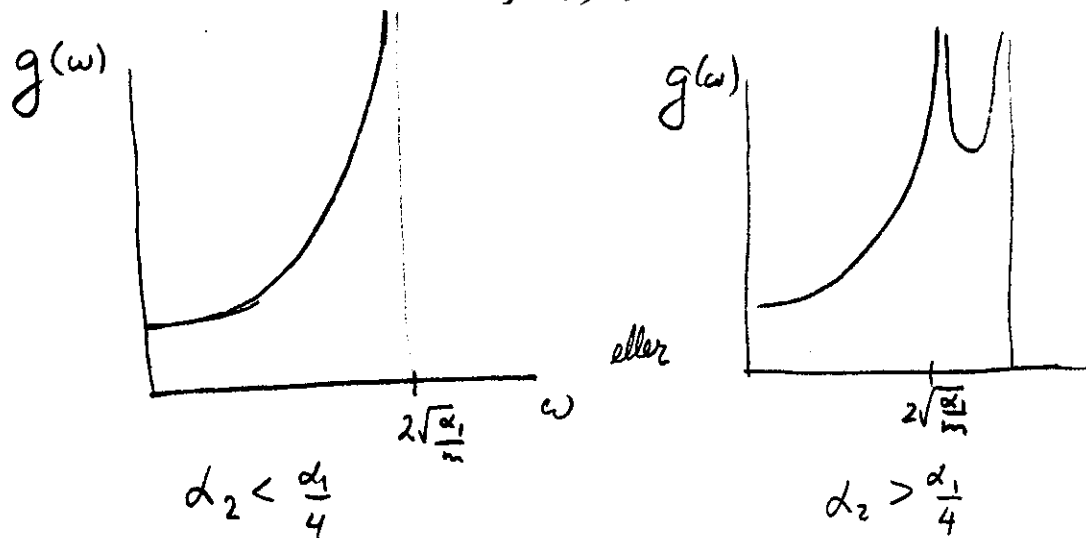
$\omega$

slik for  $\alpha_2 > \frac{\alpha_1}{4}$ , enkelt maksimum ellers

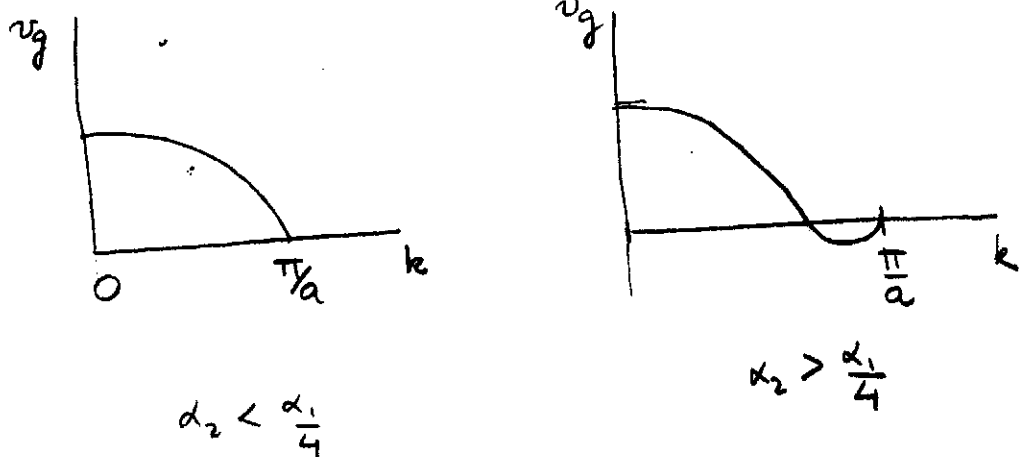


Vi kan begrense  $k$  til et intervall av lengde  $2\pi/a$ , da  $k + 2\pi/a$  gir samme bølge som  $k$ , f. eks.

$$k \in \left(-\frac{\pi}{a}, \frac{\pi}{a}\right).$$



Gruppehastighet  $v_g = \partial\omega/\partial k$  (for  $k < 0$  har  $v_g$  mots. tegn)



### Oppgave 5.

Det reciproke gitter består av alle vektorer  $\vec{R}$  slik at planbølgen  $e^{i\vec{R}\vec{R}}$  har periodisiteten til det gitt Bravaisgitter.

Hvis Bravaisgitteret er  $\vec{R} = \sum_{i=1}^3 n_i \vec{a}_i$  med heltallige  $n_i$ , må vi

$$e^{i\vec{R}\vec{R}} = 1 \quad \text{for alle } \vec{R} \in \text{Bravaisgitteret}$$

$\vec{R} \in \text{det reciproke gitter}$

(6)

Bet et splittet fremslag til konstruksjon.

es

$$\vec{K} = \sum_{i=1}^3 m_i \vec{b}_i,$$

med  $\vec{b}_1 = 2\pi \frac{\vec{a}_2 \times \vec{a}_3}{\vec{a}_1 (\vec{a}_2 \times \vec{a}_3)}$ , osv.

Vi ser at  $\vec{a}_i \cdot \vec{b}_j = 2\pi \delta_{ij}$ .

Da er  $\vec{K} \cdot \vec{R} = 2\pi \sum_{i=1}^3 m_i m_i = 2\pi \cdot \text{heltall}$  og

$$e^{i\vec{K} \cdot \vec{R}} = e^{\text{heltall} \cdot 2\pi i} = 1.$$

Altså oppspenner  $\vec{b}_1 \vec{b}_2 \vec{b}_3$  det reciproke gitter.